

# Zusammenfassung: Fourier-Integrale

t18 ~ 20.01.06

]S4(a)

Theorem: Jede (nicht-pathologische) Funktion  $f(t)$  läßt sich schreiben als "Fourier-Integral" der Form :

(1)

Vorzeichen ist Konvention, in Mathe: +

$$f(t) \stackrel{(49.1)}{=} \int_{-\infty}^{\infty} \frac{d\omega}{2\pi} e^{-i\omega t} \tilde{f}(\omega)$$

Fourier-Transformation (2)

mit Fourier-Koeffizienten:

$$\tilde{f}(\omega) \stackrel{(49.2)}{=} \int_{-\infty}^{\infty} dt e^{i\omega t} f(t)$$

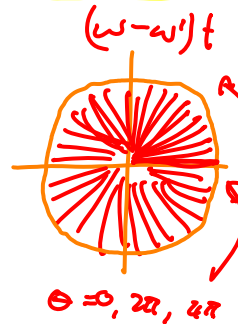
Fourier-Rücktransformation (3)

Wichtige Eigenschaften der Fourier-Exponenten:

$$z = e^{i\Theta}$$

"Orthonormalität":

$$\int_{-\infty}^{\infty} dt e^{i(\omega - \omega')t} = 2\pi \delta(\omega - \omega') \quad (4)$$



"Vollständigkeit":

$$\int_{-\infty}^{\infty} \frac{d\omega}{2\pi} e^{i\omega(t-t')} = \delta(t-t') \quad (5)$$

## Gedämpfter HD mit allgemeinem Antrieb

$f(t)$

]S5)

$$\ddot{x} + 2\gamma\dot{x} + \omega_0^2 x = f(t) \quad (1)$$



Fourier-Ansatz

$$\text{für Lösung: } x(t) = \operatorname{Re}(z(t)), \quad z(t) \stackrel{(49.2)}{=} \int_{-\infty}^{\infty} \frac{d\omega}{2\pi} \tilde{z}(\omega) e^{-i\omega t} \quad (2)$$

und Antrieb

$$f(t) \stackrel{(49.2)}{=} \int_{-\infty}^{\infty} \frac{d\omega}{2\pi} \tilde{f}(\omega) e^{-i\omega t}$$

(2) eingesetzt in (1)

$$\int_{-\infty}^{\infty} \frac{d\omega}{2\pi} \left[ \ddot{\tilde{z}}(\omega) + 2\gamma\dot{\tilde{z}}(\omega) + \omega_0^2 \tilde{z}(\omega) \right] e^{-i\omega t} = \int_{-\infty}^{\infty} \frac{d\omega}{2\pi} \tilde{f}(\omega) e^{-i\omega t}$$

$$\left[ -\tilde{z}''(\omega) - 2i\gamma\tilde{z}'(\omega) + \omega_0^2 \tilde{z}(\omega) \right] e^{-i\omega t} = \tilde{f}(\omega) e^{-i\omega t}$$

(3) gilt für

$$\text{beliebige } t \text{ und } \tilde{f}(\omega): \quad \tilde{z}(\omega) = \frac{\tilde{f}(\omega)}{\omega_0^2 - \omega^2 - 2i\gamma\omega}$$

eingesetzt in (2)  
liefert gesuchte  
Lösung  $x(t)$

(2c)

"Dynamische  
Suszeptibilität":

$$\chi(\omega) = \frac{(\text{Auslenkung})_\omega}{(\text{Antrieb})_\omega} = \frac{\tilde{z}(\omega)}{\tilde{f}(\omega)} = \frac{1}{\omega_0^2 - \omega^2 - 2i\gamma\omega} \quad (5)$$

(5)

## Antwort auf eine S-Kraft:

(4.9.3)

$$\text{Sei } f(t) = \delta(t) = \int_{-\infty}^{\infty} \frac{d\omega}{2\pi} e^{-i\omega t} \tilde{f}(\omega) \xrightarrow{(4.1a.5)} \tilde{f}(\omega) = 1 \quad (1)$$

|S56

Eingesetzt in (51.4)  $\tilde{z}(\omega) = \frac{1}{\omega_0^2 - \omega^2 - 2i\gamma\omega}$  (2)

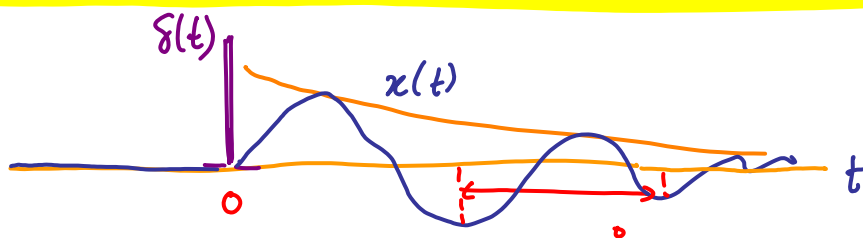
Lösung:  $z(t) = \int_{-\infty}^{\infty} \frac{d\omega}{2\pi} e^{-i\omega t} \tilde{z}(\omega) \quad (3)$

(4)

Integral lösen

(mittels Bronstein):

$$x(t) = \begin{cases} 0 & \text{für } t \leq 0 \\ \frac{1}{\omega_0} \sin \omega_0 t e^{-\gamma t} & \text{für } t > 0 \end{cases}$$

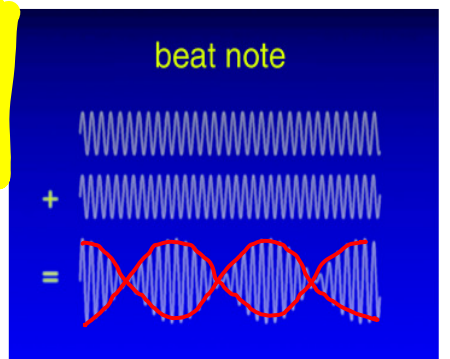


## Hänsch-Frequenzkamm (Nobelpreis 2005, Theodor W. Hänsch, LMU)

|S57

<http://nobelprize.org/physics/laureates/2005/hausch-slides.pdf>  
..... / info.html

Ziel: Messung einer "optischen" Frequenz  $f_1$  ( $\sim 10^{15} \text{ Hz}$ ) mit Genauigkeit  $10^{-15}$  ( $\Delta f_1 \sim 1 \text{ Hz}$ )



"Wie zählt man von 0 auf  $10^{15}$  in einer Sekunde?"

$f_1$  zu schnell, nur direkt messen zu werden  
(Cesium-Atomuhr tickt  $10^5$  mal langsamer)

Methode: Überlagere Signal mit Referenzsignal mit genau bekannter Frequenz  $f_2$  ( $\approx f_1$ ) und messe Schwebungsfrequenz:

$$f_{12} = \frac{f_1 - f_2}{2} \approx 10^9 \text{ Hz}$$

viele langsam, gut messbar,  
mit Genauigkeit  $10^{-9} \Rightarrow 1 \text{ Hz}$

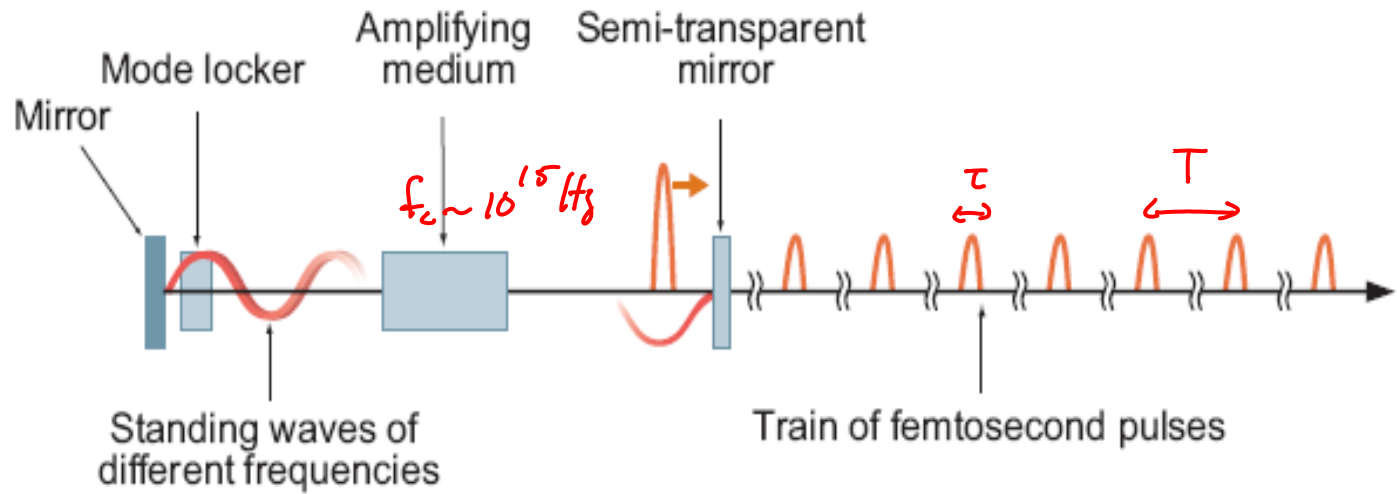
Gesuchte Frequenz:  $f_1 = f_2 + 2f_{12}$

Wie beschafft sich Hänsch eine sehr genau bekannte Referenzfrequenz  $f_r$ ?

Schritt 1: Generiere periodische Pulsfolge:

Dank an: Thomas Udem

Applett: <http://www.physik.uni-wuerzburg.de/femto-welt/index.html>



$$\text{Pulsdauer: } \tau \approx 20 \text{ fs} = 2 \times 10^{-14} \text{ s}$$

$$\text{Repetitionsrate: } f_r = \frac{\omega_r}{2\pi} = \frac{1}{\tau} \approx 600 \text{ MHz} \sim 6 \times 10^8 \text{ Hz}$$

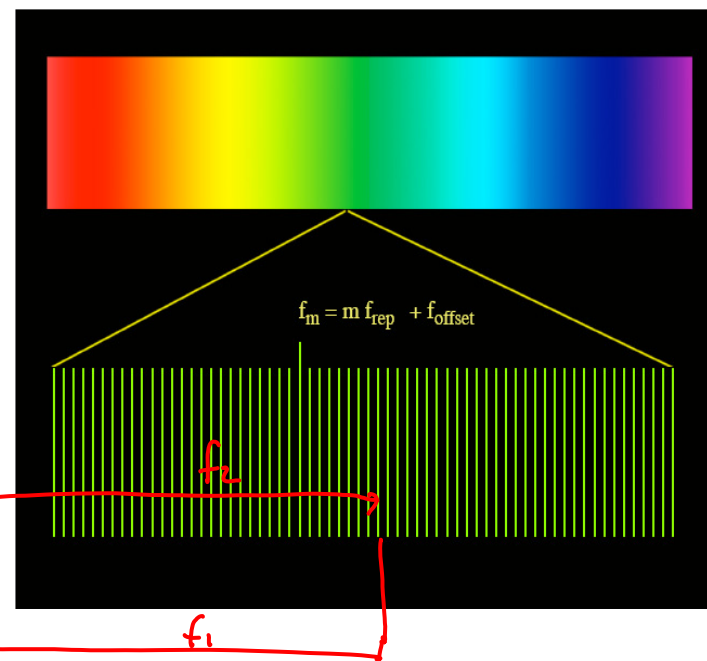
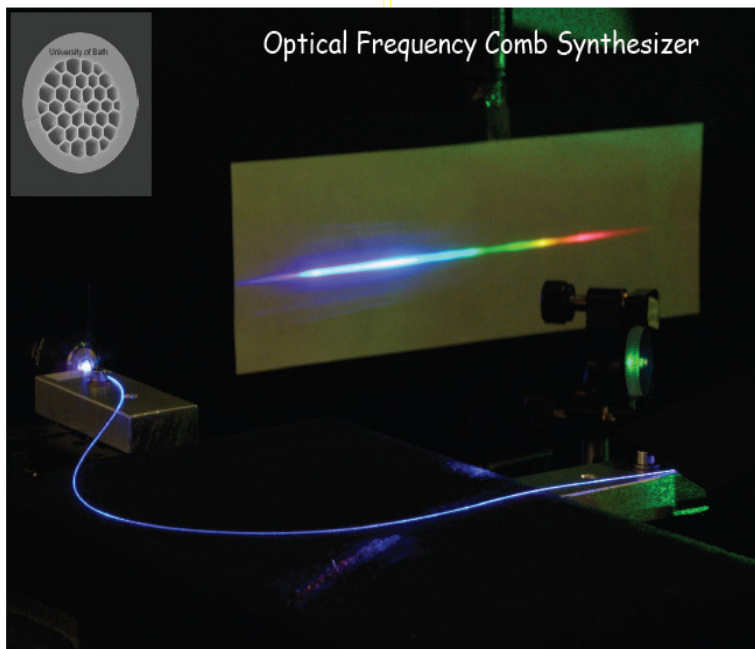
langsam, gut messbar, mit Genauigkeit  $10^{-9} \Rightarrow \delta f_r \sim 1 \text{ Hz}$  (2)

Schritt 2: Zerlege Pulsfolge nach Frequenzen

Das ergibt einen Frequenzkamm mit

- etwa  $10^6$  diskreten Frequenzen
- mit Frequenzabstand  $f_r \approx 10^9 \text{ Hz}$

überspannt einen Bereich von



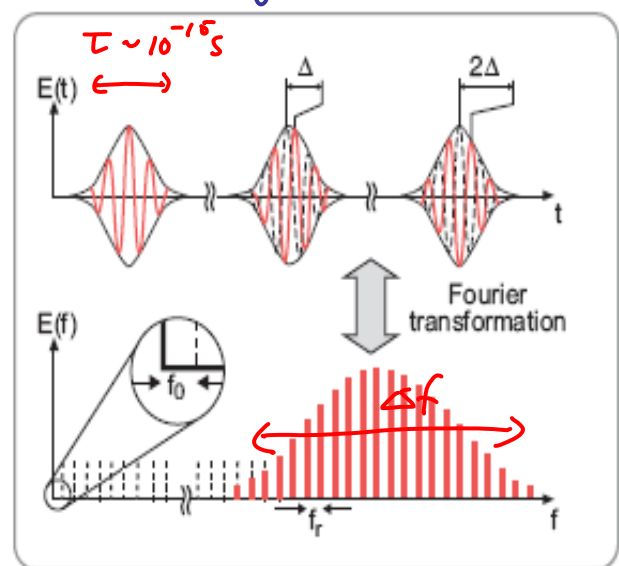
### Schritt 3 : Bestimme die Kammfrequenzen :

Problem :

Es gibt eine Phasenverschiebung (Phase slip) zwischen sukzessiven Pulsen, die zeitabhängig [sehr langsam] fluktuiert kann (Spiegel wackeln...)

- ⇒ Pulsfolge ist nicht wirklich streng periodisch!
- ⇒ Kammfrequenzen enthalten eine (vorerst) unbekannte "Offset-Frequenz"

$\omega_c$ : Trägerfrequenz

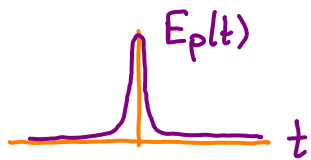


$$f_n = n f_r + f_0$$

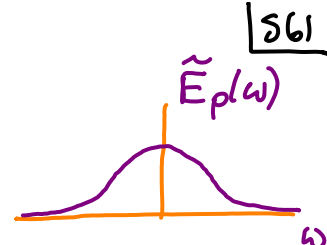
$$\text{Breite des Kamms: } \Delta f = \frac{1}{T} \sim \frac{1}{\tau} \times 10^{-4} \text{ Hz}$$

(Glasfaser verbreitert den Kamm zusätzlich auf  $10^{-5} \text{ Hz}$ )

Einzelner Puls  $E_p(t)$  habe die Fourier-Darstellung:



$$E_p(t) = \int_{-\infty}^{\infty} \frac{d\omega}{2\pi} e^{-i\omega t} \tilde{E}_p(\omega) \quad (1)$$



Berechne das Fourierspektrum (= erlaubten Frequenzen) folgender Pulsfolge :

$$E(t) = \sum_{n=-\infty}^{\infty} E_p(t - nT) e^{-i\omega_c t} e^{-i\varphi_n}$$

$$\tilde{E}(\omega) = \int dt e^{i\omega t} E(t) = \int_{-\infty}^{\infty} dt e^{i\omega t} \sum_{n=-\infty}^{\infty} \int \frac{d\omega'}{2\pi} e^{-i\omega'(t-nT)} \tilde{E}_p(\omega') e^{-i\omega' t} e^{-i\varphi_n}$$

$$= \sum_{n=-\infty}^{\infty} e^{-i\varphi_n} \int \frac{d\omega'}{2\pi} \tilde{E}_p(\omega') e^{i\omega' nT} \int_{-\infty}^{\infty} dt e^{i\omega' t} e^{-i\omega t} e^{-i\omega_c t}$$

(4.1a.4):  $2\pi \delta(\omega - \omega' - \omega_c) : \Rightarrow \omega' = \omega - \omega_c$

$$= \sum_{n=-\infty}^{\infty} e^{-i\varphi_n} \tilde{E}_p(\omega - \omega_c) e^{i(\omega - \omega_c)nT}$$

$$\frac{\tilde{E}(\omega)}{\tilde{E}_p(\omega - \omega_c)} = \sum_{n=-\infty}^{\infty} e^{i n T [\omega - (\omega_c + \varphi/T)]}$$

$$= \frac{(3,4,5)}{\omega_r} \sum_{n,k=-\infty}^{\infty} \delta(\omega - \omega_0 - \omega_r(n+k))$$

Frequenzkamm .

$$\tilde{\omega}_n = \frac{2\pi n}{T}$$

$$= \sum_{n=-\infty}^{\infty} e^{-i \tilde{\omega}_n t} = \frac{T}{(41a.5)} \sum_{k=-\infty}^{\infty} \delta(t - kT)$$

(2)

Summe hat  
bekannte  
Form (41a.5),

falls wir  
identifizieren:

und:

Drücke off-set-Frequenz  
aus mod( $\omega_r$ ):

$$\frac{2\pi n}{T} = \tilde{\omega}_n := nT \stackrel{(1)}{=} \frac{2\pi n}{\omega_r} \Rightarrow \frac{T}{\omega_r} = \underline{\omega_r}$$

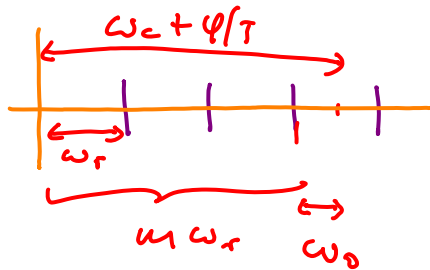
(3)

$$\tilde{t} := \omega - (\omega_c + \varphi(T)) \stackrel{10^{15} \text{ Hz}}{=} 10^9 \text{ Hz}$$

(4)

$$= \omega - (\omega_0 + \omega_r m), \quad \text{mit } \omega_0 < \omega_r$$

(5)



Gl. (62.1),  $\tilde{E}(\omega) = \sum_{n=-\infty}^{\infty} \tilde{E}_p(\omega_0 + n\omega_r - \omega) \delta(\omega - (\omega_0 + n\omega_r))$ ,

Einhüllende  $\hat{\square}$  Spitzen

(563)

beschreibt Frequenzkamm, mit diskreten Freq: }  $\omega_n = n\omega_r + \omega_0$   
 $f_r, f_0 \approx 10^8 - 10^9 \text{ Hz}$  also langsam, gut messbar! }  $f_n = n f_r + f_0$

Bestimmung v.  $f_0$ : Nehme breiten Kamm, der

$$f_n = n f_r + f_0$$

enthält.

$$\text{und } f_{2n} = 2n f_r + f_0$$

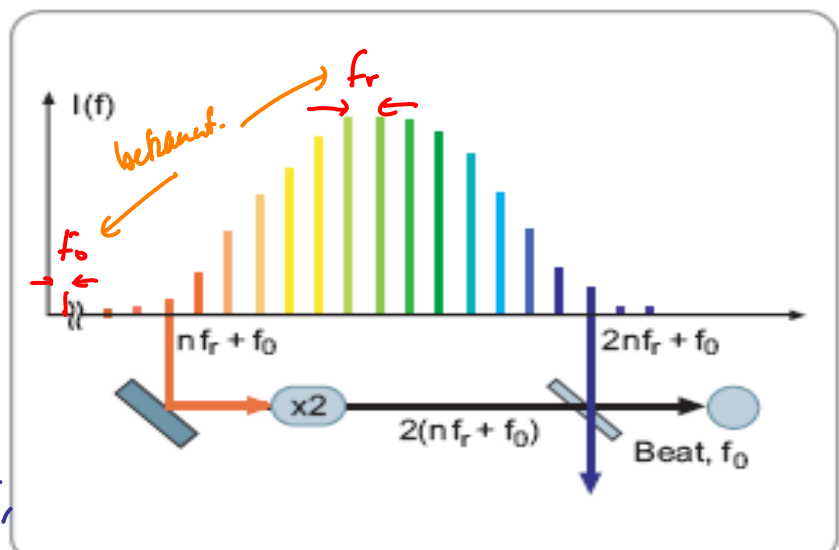
Verdopple Frequenz v.  $f_n \rightarrow 2f_n$ ,

Überlagere dieses mit  $f_{2n}$ .

Schwebung zwischen  $2f_n$  und  $f_{2n}$

liefert:  $z(n f_r + f_0) - (2n f_r + f_0)$

$$f_0 = \underline{\text{messbar}}$$



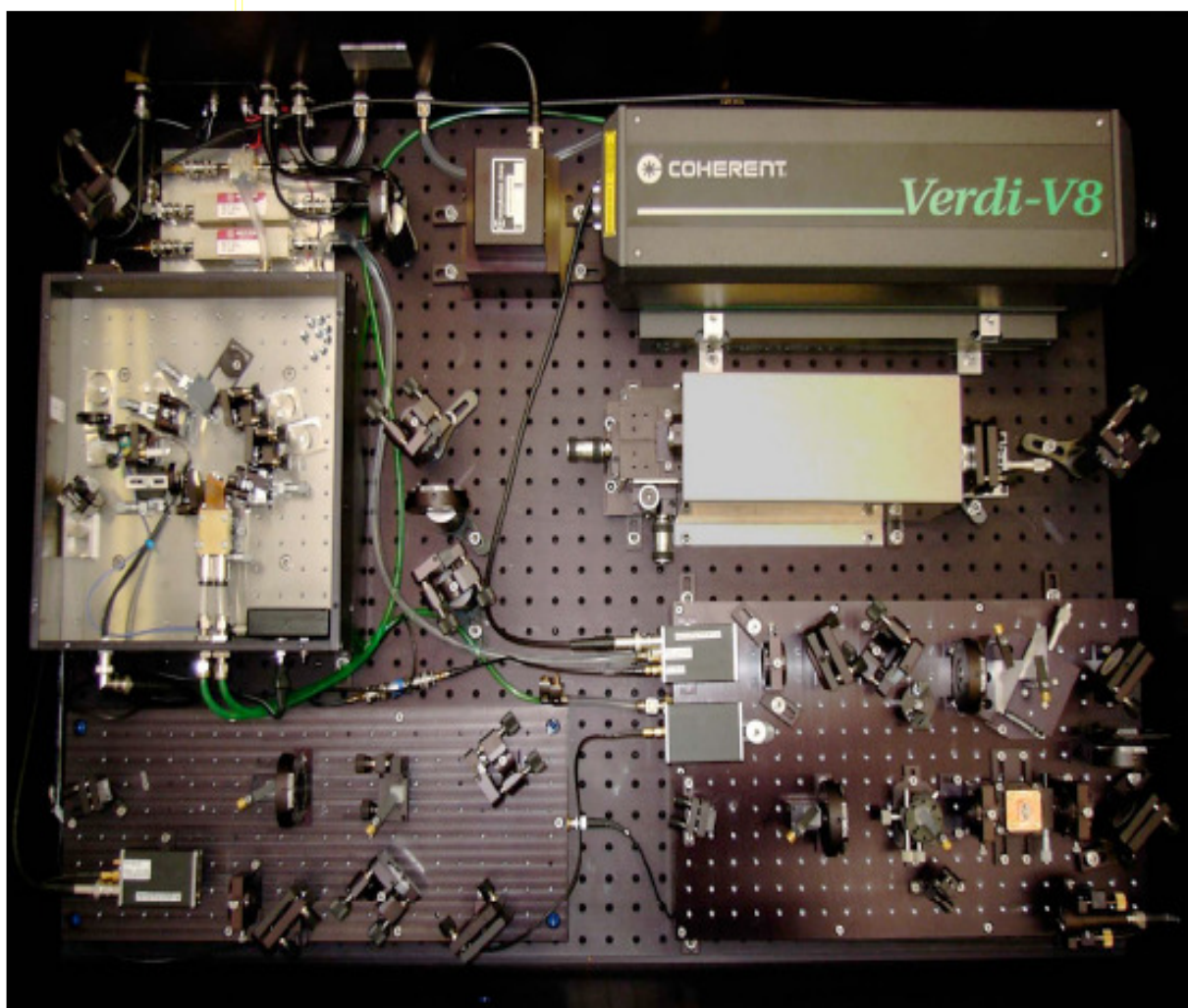
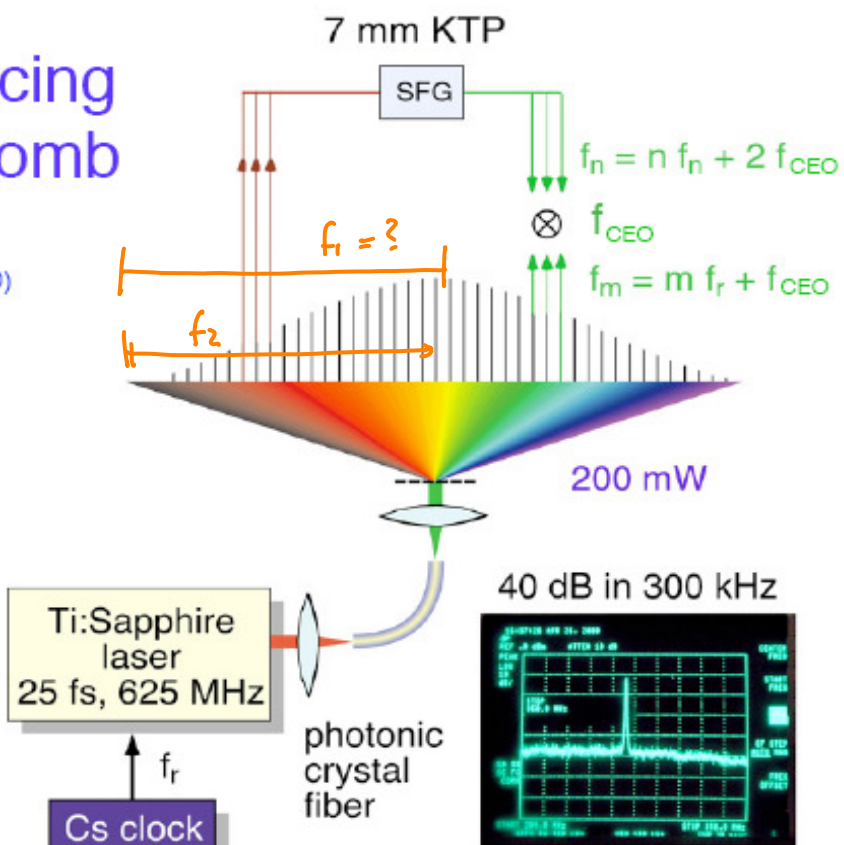
Alle Kammfrequenzen sind jetzt bekannt,  
d.h. Referenzsignal ist kalibriert!

# Self-referencing frequency comb

R. Holzwarth et al.,  
Phys. Rev. Lett **85**, 2264 (2000)

D. Jones et al.,  
Science **288**, 635 (2000)

T.W. Hänsch,  
Witnessed disclosure  
(March 30, 1997)



## femtosecond laser frequency comb synthesizer

- 100 000 ultra-stable lasers at once
- revolutionary optical wave meter
- frequency counter from DC to UV
- **clockwork for optical atomic clocks**
- ultra-stable microwave source
- ...
- enabling tool for fundamental measurements
- arbitrary optical waveform synthesizer?
- ...
- **source of phase-stabilized femtosecond pulses**
- **key to attosecond physics** Krausz

## Applications for (better) Atomic Clocks

- Precision Spectroscopy
- Time and frequency metrology
- Clock synchronization over large distances
- Very long baseline interferometry (VLBI)
- Higher performance satellite navigation (Galileo)
- Precise tracking of remote space probes
- Telecommunication, network synchronization
- Variability of earth's rotation
- **Geodesy with millimeter precision**
- Pulsar periods
- **Test of special and general relativity**
- Check constancy of fundamental constants
- ....

